

# LOS RESTOS ANTROPOLOGICOS DE LA CUEVA C.V.3 DE COGOLLOS VEGA (GRANADA)

MANUEL GARCIA SANCHEZ \* y SYLVIA A. JIMENEZ BROBEIL \*\*

Lo restos óseos, objeto de este estudio, fueron hallados fortuitamente en la cueva C.V.3, sita entre los términos municipales de Cogollos Vega y Nívar (Granada). Se encontraban revueltos, muy fragmentados y con una gruesa capa de concreciones calizas.

Por los materiales arqueológicos del yacimiento, suponemos que pertenecen al período Neolítico pero sin poder establecer precisiones al respecto. Entre los restos se ha determinado la presencia de al menos tres individuos, no pudiendo adjudicarse los materiales restantes.

## INDIVIDUO 1

### Descripción

Se conserva una bóveda craneana a la que faltan el parietal y temporal izquierdos, con pérdidas de sustancia en la región postbregmática del parietal derecho en una longitud de 3 cm. por 5,5 cm. de anchura, perteneciente a un individuo adulto femenino.

El curso de las suturas es muy complicado (S2 con grado 4 de Broca y L2 con grado 5). Todas las suturas se encuentran abiertas en ambas tablas, excepto L1 y L2 que muestran sinóstosis iniciada y mediada, respectivamente.

El cráneo es de tamaño mediano, con regular espesor de los huesos de la bóveda y relieves de inserciones musculares poco acusados. La capacidad craneana (cuadro 1), calculada mediante las fórmulas de Lee-Pearson, empleando la altura auricular, se clasifica en la aristencefalia.

---

(\*) Laboratorio de Antropología. Facultad de Medicina. Universidad de Granada.

(\*\*) Departamento de Prehistoria de la Universidad de Granada.

CUADRO 1  
MEDIDAS ABSOLUTAS E INDICES DEL CRANEO

Longitud máxima .....	181	Cuerda sag. occipital.....	96
Anchura máxima .....	142*	Cuerda sag. escama.....	60
Anchura frontal min.....	93*	Capacidad (Pearson).....	1.356,61 po
Anchura frontal máx.....	123	I. cefálico .....	78,45
Anchura biastérica .....	103	I. vértico-longitudinal .....	70,72
Alt. basio-bregma.....	128**	I. aurículo-longitudinal.....	60,77
Alt. auricular.....	110	I. vértico-transversal.....	90,14
Perímetro horizontal .....	514*	I. aurículo-transversal.....	77,46
Arco transversal.....	316*	I. mixto po.....	68,11
Arco sagital total .....	370	I. mixto ba.....	79,26
Arco sag. frontal .....	132	I. transverso frontal .....	75,61
Arco sag. parietal.....	121	I. trans. fronto-pariet.....	65,49
Arco sag. occipital.....	117	I. sag. frontal .....	84,09
Arco sag. escama .....	63	I. sag. parietal.....	90,91
Cuerda sag. frontal.....	111	I. sag. occipital.....	82,05
Cuerda sag. parietal .....	110	I. sag. escama .....	95,24

\* Medidas tomadas por simetría

\*\* Según Turbón y Pons, 1979-80.

En norma superior el contorno de la bóveda corresponde al tipo pentagonoide de Sergi, con protuberancias frontales redondeadas y algo salientes, gran anchura frontal, bolsas parietales redondeadas y poco salientes y occipucio estrecho. Por ser largo y de mediana anchura, según las categorías de Scheidt, resulta mesocráneo por el índice cefálico. Según el transverso frontal, resulta esferometope acusado y por el transverso fronto-parietal estenometope acentuado.

El perfil sagital es curvilíneo, con frente vertical, región del vértex aplanada, ligero aplanamiento prelámbdico y occipucio redondeado y algo saliente (fig. 1). El nasio es hundido, la glabella de tipo III de Martin y los arcos superciliares de mediano desarrollo. Las crotáfites están muy poco marcadas. Pterio en H. Presenta crestas supramastoideas algo marcadas e ínio débil (tipo 1 de Broca). Ortocráneo por los índices vértico y aurículo-longitudinal.

En norma anterior la frente es vertical y de mediana anchura, con protuberancias frontales redondeadas y algo salientes. Glabella y arcos superciliares correspondientes al tipo II de Cunningham y Schwalbe.

En norma posterior el contorno de la bóveda es domiforme, con protuberancias parietales redondeadas, bajas y poco salientes. Tapinocráneo acusado por los índices vértico y aurículo-transversal. Las líneas nucales son medianas y el ínio débil. Presenta pequeños huesos wormianos en la sutura lambdoidea. En norma inferior, las cavidades glenoideas son pequeñas, estrechas y profundas.

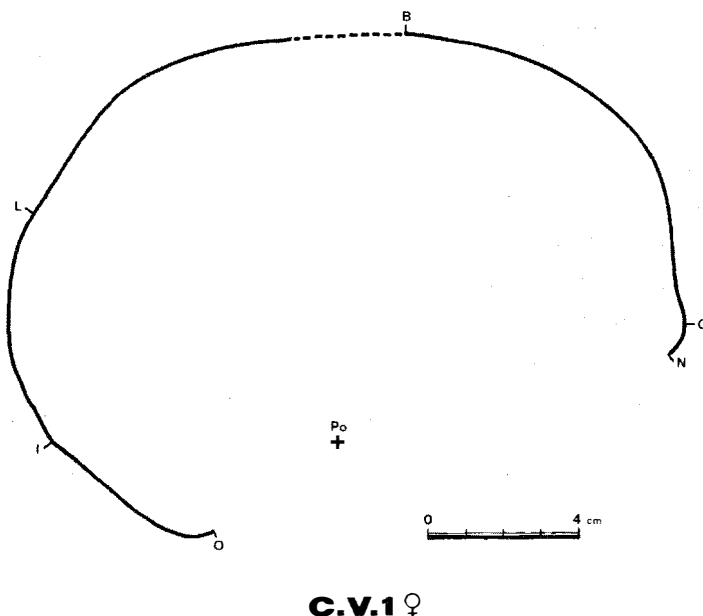


Fig. 1.—Perfil sagital del cráneo 1 de la Cueva C.V.3 de Cogollos Vega. 1:2.

### Comparaciones y tipología

Se compara este cráneo femenino de Cogollos Vega con la serie femenina de época argárica estudiada por M. Botella (1976). En el diagrama (fig. 2) se aprecia que el sujeto analizado encaja dentro de la población argárica. Tan sólo superan la unidad sigmática la anchura frontal máxima, el arco transversal, el arco sagital frontal, la cuerda sagital occipital, la capacidad, el índice transversal frontal y el sagital frontal.

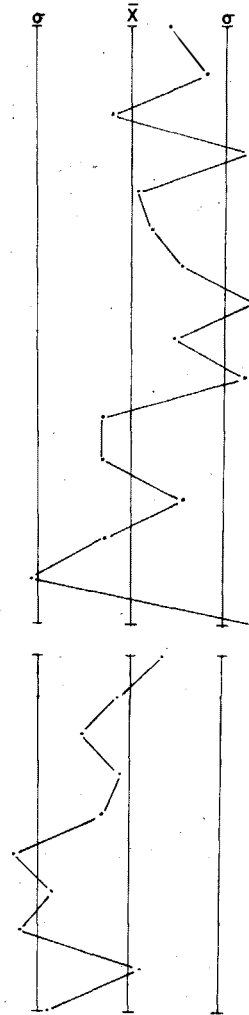
Al no conservarse la cara, no es posible determinar con precisión la tipología del sujeto. Dado que el neurocráneo encaja bien dentro de la serie argárica, de mayoría mediterránea grácil, no es muy aventurado suponer que el cráneo de Cogollos Vega pertenezca a este tipo.

### INDIVIDUO 2

Se trata de un sujeto infantil II de cuyo cráneo se conservan: un fragmento de la parte posterior del parietal derecho, un M<sub>1</sub> derecho con ligero desgaste y raíces no calcificadas

## NEUROCRANEO

- Longitud máxima
- Anchura máxima
- Anchura frontal mínima
- Anchura frontal máxima
- Altura basio-bregma
- Altura auricular
- Perímetro horizontal
- Arco transversal
- Arco sagital total
- Arco sagital frontal
- Arco sagital parietal
- Arco sagital occipital
- Cuerda sagital frontal
- Cuerda sagital parietal
- Cuerda sagital occipital
- Capacidad craneal (Pearson)
- Indice cefálico
- Indice vértico-longitudinal
- Indice vértico-transversal
- Indice aurículo-longitudinal
- Indice aurículo-transversal
- Indice transverso frontal
- Indice transverso fronto-parietal
- Indice sagital frontal
- Indice sagital parietal
- Indice sagital occipital



Serie base: Argáricos ♀ (M. Botella 1976)  
 Cogollos Vega ♀

Fig. 2.—Diagrama de desviación del neurocráneo femenino.

totalmente, una corona de un canino no emergido y un  $m_1$  y  $m_2$  derechos, con las raíces completamente mineralizadas, que corresponderían a un niño de unos 7-8 años, según el esquema de Ubelakér (1978). Del esqueleto postcranial se conservan: una vértebra cervical, una dorsal, dos lumbares y un arco lumbar fragmentario; una costilla completa y una fragmentaria; el húmero izquierdo, ambos fémures, la tibia derecha, ambos peronés (el izquierdo fragmentario) y el calcáneo y astrágalo izquierdos. Las longitudes de los huesos son las siguientes:

— Húmero.....	185,5
— Fémures.....	227
— Tibia.....	215
— Peroné.....	211

Según el cuadro de Stloukal y Hanakova (1978), cabe asignarle unos 8-9 años de edad.

### INDIVIDUO 3

Se trata de un varón adulto representado por tres fragmentos del frontal y al que posiblemente pertenezca un fragmento que comprende parte del occipital y de los parietales.

En norma lateral, el frontal presenta nasio medianamente hundido bajo glabella tipo III de Martín y en norma frontal, glabella y arcos superciliares del tipo II de Cunningham y Schwalbe.

El restante fragmento muestra las suturas S3 y L1, de diseño complicado, abiertas en ambas tablas, con un hueso wormiano grande en L1 izquierda. En norma lateral se aprecian ligera depresión prelámbdica, occipucio redondeado, inicio tipo 1 de Broca y líneas nucales marcadas. El arco de la escama es de 64 mm. y la cuerda de 61, lo que denota un índice de 95,31.

Los restos sin asociar son los siguientes:

- A) Fragmento que comprende el maxilar y el malar izquierdo fragmentarios, correspondiente a un sujeto adulto de sexo indeterminado. Conserva *in situ* el  $M^1$ , que muestra desgaste de grado 2 de Broca, habiendo caído *post mortem* todas las restantes piezas del lado izquierdo. El malar conservado es poco rugoso, la fosa canina débil y la espina nasal anterior de tipo 3 de Broca.
- B) Maxilar fragmentario que conserva *in situ* el  $I^1$  izquierdo y los  $I^2$ , C,  $p^1$  y  $p^2$  derechos. Presenta reabsorción alveolar de ambos  $M^1$ . *Post mortem* cayeron el  $I^1$  derecho y los  $I^2$ , C,  $p^1$  y  $p^2$  izquierdos.
- C) Se trata de algunas piezas dentarias sueltas: un  $I_1$ , un  $I^2$ , un C- y un  $M_1$ , este último con grado 2 de desgaste.
- D) Tibia izquierda de un varón adulto a la que faltan el maleolo y el cóndilo medial. La longitud total y el perímetro mínimo son grandes (cuadro 2), lo que proporciona un fuerte índice de robustez. Por el índice cnémico se clasifica en la euricnemia. Presenta carilla oriental lateral.

CUADRO 2  
MEDIDAS ABSOLUTAS E INDICES DE LA TIBIA MASCULINA

Longitud total.....	375*	Anch. epífisi distal.....	47 ?
Perímetro mínimo.....	87	I. robustez.....	23,20
Diámetro sagital superior.....	37	I. cnémico.....	72,97
Diámetro transversal superior.....	27		

\* Según Steele y McKern, 1969.

Para el cálculo de la estatura se han aplicado las fórmulas de Manouvrier (1893), Pearson (1899), Olivier-Tissier (1975) y Trotter-Gleser (1958). El promedio de los diferentes valores indica una estatura superior a la media (cuadro 3).

CUADRO 3  
DETERMINACION DE LA ESTATURA SEGUN LA TIBIA MASCULINA

<i>Manouvrier</i>	<i>Pearson</i>	<i>Olivier-Tissier</i>	<i>Trotter-Gleser</i>
166,1	167,8	169,8	172,6
<i>Promedio</i> 169,0			

## BIBLIOGRAFIA

- BOTELLA, M.: *Antropología de las poblaciones argáricas*, Tesis doctoral inédita, Universidad de Granada, 1976.
- BROCA, P.: "Instructions craniologiques et craniométriques", *Mém. Soc. d'Anthrop. de Paris*, 2, II, 1875.
- FEREMBACH, D.; SCHWIDETZKY, I. y STLOUKAL, M.: "Recommandations pour déterminer l'âge et le sexe sur le squelette", *Bull. Mém. Soc. d'Anthrop. de Paris*, 8, XII, 1979, pp. 7-45.
- MANOUVRIER, L.: "La détermination de la taille d'après les grands os des membres", *Mém. Soc. d'Anthrop. de Paris*, 4, 1893, pp. 347-402.
- MARTIN, R.: *Lehrbuch der Anthropologie*, ed. por K. Saller, Stuttgart, 1957.
- OLIVIER, G. y TISSIER, H.: "Détermination de la stature et de la capacité crânienne", *Bull. Mém. Soc. d'Anthrop. de Paris*, 2, XIII, 1975, pp. 1-11.
- OLIVIER, G. y DEMOULIN, F.: *Pratique anthropologique à l'usage des étudiants*, Paris, 1976.
- PEARSON, K.: "On the reconstruction of the stature of prehistoric races", *Mathem. Contrib. Theory of Evolution*, V. *Philo. Trans. of the Roy. Soc., Series A*, t. 192, 1899, pp. 169-244.
- STLOUKAL, M. y HANAKOVA, H.: "Die Länge der Längsknochen altslawischer Bevölkerungen unter besonderer Berücksichtigung von Wachstumsfragen", *Homo*, 29, 1978, pp. 53-69.
- STEELE, G. y Mc KERN, T.: "A method for assessment of maximum long bone length and living stature from fragmentary long bones", *Amer. J. Anthropol.*, 51, 1969, pp. 215-228.
- TROTTER, M. y GLEESER, G. C.: "A re-evaluation of estimation of stature based on measurements of stature taken during life of long bones after death", *Amer. J. Phys. Anthropol.*, 16, 1958, pp. 79-124.
- TURBON, D. y PONS, J.: "Relaciones entre las alturas basio-bregma y auricular", *Trabajos de Antropología*, XVIII, 3, 1979-80, pp. 161-173.
- UBELAKER, D. H.: *Human skeletal remains. Excavation, analysis, interpretation*, Chicago, 1978.